

مقاله تحقیقی

شناسایی ساختمان مولکولی و ارزیابی بیولوژیک کاپرووردین، استخراج شده از یک غلافدار دریایی در دریای عمان

*رامین زیباسرشت

- دانشگاه علوم دریایی امام خمینی(ره)، نوشهر

***مسؤول مکاتبات:** دانشگاه علوم دریایی امام خمینی(ره) نوشهر، دانشکده علوم، بخش شیمی و فیزیک،
مازندران، ایران، پست الکترونیک: rzi12@uclive.ac.nz

محل انجام تحقیق: بخش شیمی و فیزیک، دانشکده علوم، دانشگاه علوم دریایی امام خمینی(ره)، نوشهر،
مازندران - آزمایشگاه بیومتریال دانشگاه علوم پزشکی ارشد، تهران

تاریخ پذیرش: ۹۳/۱۲/۲۲

تاریخ دریافت: ۹۳/۸/۱۶

چکیده

برای انجام این تحقیق، نمونه‌ای از غلافدار دریایی (آبپاش دریایی) متعلق به رده Acidiacea از پایه اسکله پایگاه نیروی دریایی ارتش در کنارک در فصل پاییز ۱۳۹۲ جمع‌آوری گردید. سپس، نمونه‌ها منجمد شده و برای انجام آزمایشات به آزمایشگاه دانشکده علوم در دانشگاه علوم دریایی امام خمینی(ره) نوشهر منتقل شد. ترکیبات شیمیایی خاصی از نمونه مورد نظر با استفاده از روش‌های کروماتوگرافی استخراج گردید و ساختمان مولکولی یکی از ترکیبات مورد نظر به نام کاپرووردین با استفاده از روش‌های طیف‌نگاری NMR، طیف‌نگاری جرمی، طیف‌سنحی IR و UV شناسایی شد. در این مطالعه، ارزیابی بیولوژیک کاپرووردین در مقابل تعدادی از رده‌های سلولی تومور انسانی و جانوری نیز مورد مطالعه قرار گرفت. بررسی‌ها نشان دادند که این ترکیب در مقابل آن دسته از رده‌های سلولی تومور انسانی و جانوری مورد نظر در این مطالعه خاصیت ضد توموری دارد.

کلید واژه‌ها: کاپرووردین، شناسایی، طیف‌نگاری NMR، طیف‌نگاری جرمی

انسانی، به منظور یافتن ترکیبات جدید ضد سرطان، گستره وسیعی از انواع موجودات دریایی مورد توجه قرار گرفته‌اند. بر اساس تحقیقات انجام شده، به ویژه در سال‌های اخیر،

مقدمه

در راستای کارهای تحقیقاتی رو به توسعه که توسط محققین انجام می‌پذیرد و به دلیل گسترش انواع بیماری‌های سرطان در جوامع

این تحقیق با هدف جداسازی و شناسایی ترکیبات طبیعی در گونه‌ای آبپاش دریایی در اسکله پایگاه نیروی دریایی ارتش در کنارک انجام پذیرفت که امید است نتایج به دست آمده بتواند راه‌گشای تحقیقات آینده باشند.

مواد و روش‌ها

برای انجام این تحقیق، نمونه‌ای از آبپاش دریایی متعلق به رده *Acidiacea* از پایه اسکله نیروی دریایی کنارک در پاییز ۱۳۹۲ جمع‌آوری گردید. سپس نمونه‌های منجمدشده برای انجام آزمایشات به آزمایشگاه‌های دانشکده علوم در دانشگاه علوم دریایی امام خمینی(ره) نوشهر و آزمایشگاه بیومتریال دانشگاه علوم پزشکی ارتش در تهران منتقل گردید.

تمامی حلال‌ها قبل از مصرف، تقطیر شدند یا به صورت HPLC grade مورد استفاده قرار گرفتند. بسته فاز برگشتی BakerBond Octadecyl C18 (40 μ m) کروماتوگرافی خلاء و کروماتوگرافی نفوذ ژل استفاده شد. طیف‌های Sephadex LH-20 NMR بر روی دستگاه‌های اسپکترومتر Varian UNITY, XL 300 MHz INOVA 500 MHz ثبت شدند.

طیف‌های جرمی الکترواسپری (ESIMS) در هر دو مُد مثبت و منفی بر روی یک اسپکترومتر جرمی Micromass LCT و اسپکترومتر جرمی ضربه الکترون (EIMS) روی یک اسپکترومتر جرمی Kratos MS 80 HRFABMS و FABMS RFA ثبت شدند. Kratos نیز بر روی دستگاه اسپکترومتر جرمی LC/ESIMS MS 80 RFA بر روی یک دستگاه Agilent technologies ثبت شدند.

انواع مختلفی از این نوع موجودات می‌توانند گزینه مناسبی جهت استخراج ترکیبات ضد سلطانی باشند. آبپاش‌های دریایی (اسیدیاسه) متعلق به رده *Acidiacea* زیرشاخه Urochordata و شاخه طنابداران (Chordata) می‌باشند. این جانوران، به صورت کلی و یا انفرادی یافت می‌شوند. دوره لاروی کوتاهی از چند دقیقه تا چند روز را دارند. در طول چرخه زندگی، با ترشح ترکیبات چسبناک، لارو آن‌ها به یک تکیه‌گاه سخت از قبیل تخته‌سنگ‌ها و پایه اسکله‌ها می‌چسبند. نمونه بالغ دارای دو سیفون درون‌کش و برون‌ریزنده می‌باشد. فوران آب از سیفون خروجی علت نام‌گذاری آن‌ها به عنوان آبپاش دریایی است. این دسته از جانوران از طریق فیلتر نمودن آب تغذیه می‌نمایند (۱).

طول این آبزیان بر حسب گونه می‌تواند بین ۰/۲ تا ۴ اینچ متغیر بوده و به رنگ‌های مختلفی مانند سبز، زرد، قرمز، قهوه‌ای یا سیاه دیده می‌شوند. دشمنان طبیعی آن‌ها جانورانی مانند مارماهی‌ها، حلزون‌ها، ستاره‌های دریایی و برخی از سخت‌پوستان هستند. طول عمر آن‌ها بر حسب گونه تقریباً بین ۷ تا ۳۰ سال می‌باشد.

این موجودات دارای منابع غنی از متابولیت‌های ثانویه هستند که گروه بزرگی از این ترکیبات، ساختار آلکالوئیدی دارند. این موجودات دارای ظرفیت نسبتاً بالایی برای کشف و شناسایی ترکیبات دارویی جدید از دریا هستند (۲). بسیاری از ترکیبات آلکالوئیدی به دلیل داشتن فعالیت‌های بیولوژیک از قبیل خواص ضدوبروزی، ضدالتهابی، ضدلوسی و ضدتوموری مورد توجه می‌باشند.

HREIMS m/z 301.05910 ($[M]^+$, calculated for $C_{15}H_{11}NO_6$, 301.05864); HRFABMS m/z 302.0673 ($[MH]^+$, calculated for $C_{15}H_{12}NO_6$, 302.0665).

واکنش کاهش کاپرووردین: مقدار ۰/۲ میلی گرم کاپرووردین و ۳/۵ میلی گرم $NaBH_4$ در ۳ میلی لیتر متانول خشک به مدت ۲ ساعت در دمای آزمایشگاه هم زده می شوند. مخلوط واکنش تحت خلاء غلیظ شده و مجددا در ۲ میلی لیتر متانول حل می شود و سپس توسط RPHPLC و طیفنگاری جرمی آنالیز می شود. آنالیز HPLC حضور دو ماده را نشان داد که کمی از کاپرووردین قطبی تر اما پروفایل UV یکسان دارند. این دو ترکیب مشکوک به دو ترکیب C و D بودند اما طیف جرمی الکترواسپری این مخلوط فقط جرمی را که متناظر با ترکیب ۴ است، نشان داد (جرم بر بار m/z ۲۸۸/۲۱) که پیشنهاده شده فرمول ساختمانی محتمل $C_{15}H_{13}NO_5$ بوده که جرم محاسبه شده آن، m/z ۲۸۷/۲۶۷۵ است.

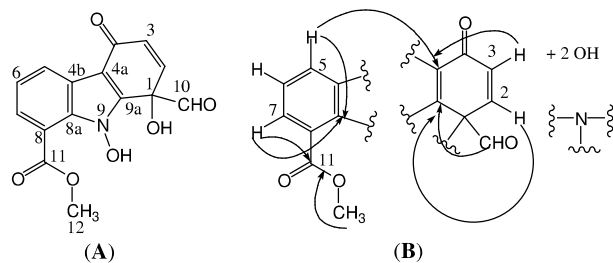
بحث و نتیجه گیری

نمونه ۳۴ گرمی از غلافدار منجمد شده توسط مخلوط متانول / دی کلرومتان استخراج گردید. جداسازی اولیه مخلوط استخراج شده توسط کروماتوگرافی مایع خلاء RP و سپس (LH-20) توسط کروماتوگرافی نفوذی ژل (HPLC) انجام شد. خالص سازی نهایی به وسیله فاز برگشتی انجام شد که منجر به تولید متابولیت اصلی کاپرووردین (تصویر ۱) به صورت یک روغن زردرنگ (با بازده ۰/۰۱ درصد، ۵ میلی گرم) گردید.

1100 HPLC-MSD با استفاده از یک ستون Zorbax C8 (2.1 mm × 15 cm) ۴۰ درجه سانتی گراد انجام شد. اسپکترومتر جرمی با استفاده از API-ES (+ve) به کار گرفته شد. طیف UV با استفاده از یک Hewlett-Packard 3452A اسپکتروفوتومتر IR با استفاده از یک Shimadzu FTIR-8201PC اسپکتروفوتومتر HPLC بر روی یک ستون Phonomenex Prodigy ۵ μ ODS با ابعاد (100 Å: 250 × 4.6 mm) انجام شد. HPLC فاز برگشتی بر روی دستگاه Shimadzu LC-4A HPLC خالص سازی نهایی بر روی یک ستون Phonomenex Prodigy ۵ μ ODS با ابعاد ۱۰۰ Å: 250 × 10 mm و با سرعت جريان ۴ میلی لیتر در دقیقه انجام شد. کاپرووردین (تصویر ۱A) [۸-فرمیل-۸، ۹-دی هیدروکسی-۵-اکسو-۸، ۹-دی هیدرو-۵H-کلربازول-۱-کربوکسیلیک اسید متیل استر]:

روغن زردرنگ:

IR ($CHCl_3$) v_{max} 3690 (sharp), 3500 (br), 1665, 1603, 1556, 1290 cm^{-1} ; UV (EtOH) λ_{max} (ϵ) 208 (20000), 270 (6700), 302 (4800), 382 (16000) nm; 1H NMR data (CD_3OD , 300 MHz), see Table 1; ^{13}C NMR data (CD_3OD , 75 MHz), see Table 1; ESIMS (-ve) (30 V) m/z 300 [$MH]^+$, 272 [$(MH)-CO]^+$; ESIMS (+ve) (20 V) m/z 942 [$M_3K]^+$, 926 [$M_3Na]^+$, 641 [$M_2K]^+$, 625 [$M_2Na]^+$, 472 [$M_3HK]^{2+}$, 340 [$MK]^+$, 324 [$MNa]^+$, 302 [$MH]^+$; EI (70 eV) m/z 301 (M^+ , 35), 285 (75), 273 (24), 253 (48), 225 (100), 213 (28), 197 (26), 169 (28), 146 (20); FABMS (glycerol matrix, positive ion) m/z 302 [$MH]^+$, 277, 185; LC/MS m/z 625 [$M_2Na]^+$, 324 [$MNa]^+$, 302 [$MH]^+$;

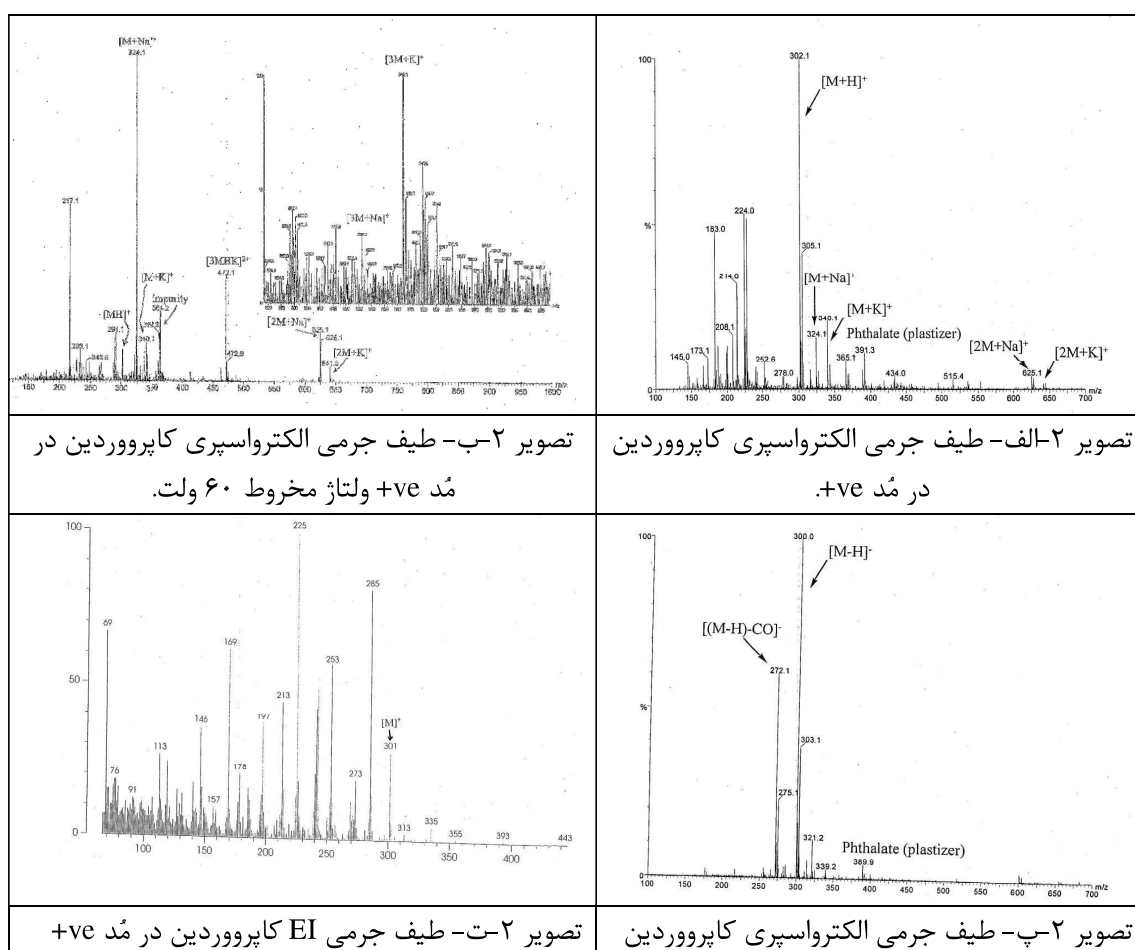


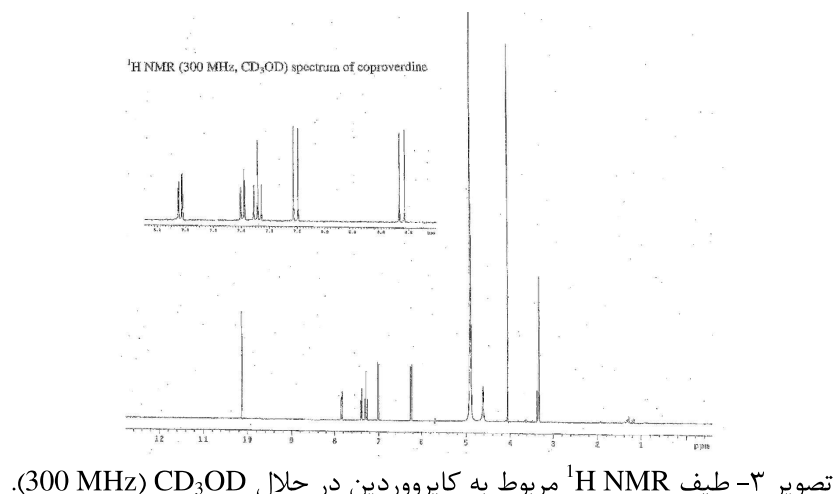
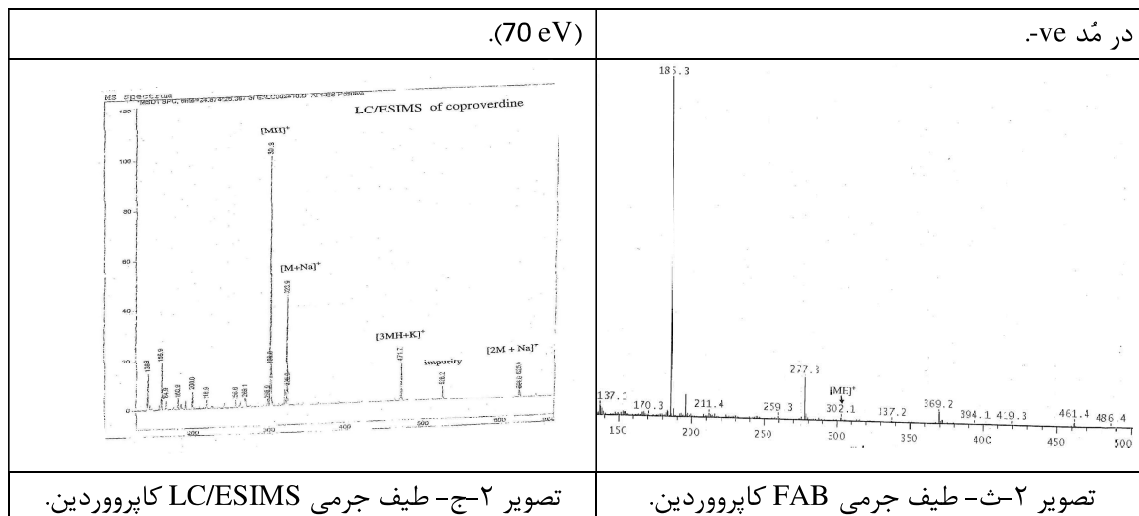
تصویر ۱- ساختار مولکولی کاپرووردین.

فرمول مولکولی این ترکیب با استفاده از HREIMS و HRFABMS به صورت $C_{15}H_{11}NO_6$ تعیین گردید (تصویر ۲).

cm^{-1} ۳۵۰۰ (پهن) داشت که نشان‌دهنده گروه‌های هیدروکسیل آزاد و پیوندشده هیدروژنی بودند. در طیف 1H NMR (تصویر ۳) یکی از پروتون‌های قابل تعویض [۵8.50(bs)] مشاهده شد؛ درحالی‌که، دیگری، احتمالاً به دلیل تعویض سریع مشاهده نشد.

طیف ^{13}C NMR ماده A دارای ۱۵ سیگنال بود که مشتمل بر یک گروه متیل، شش گروه متین و هشت اتم کربن چهارتایی بود که به وسیله روش gHSQC NMR تایید شدند. طیف IR ماده A دارای یک جذب در ناحیه cm^{-1} ۳۶۹۰ (تیز) و یک جذب در ناحیه





تصویر ۳- طیف ^1H NMR مربوط به کاپرووردین در حلal CD_3OD (300 MHz).

[56.25(d), 7.01(d)]. اتصال این دو جزء به هم دیگر برای تشکیل ساختمان مولکولی B (تصویر ۲) از تفسیر طیفهای COSY و gHMBC و آزمایش‌های مختلف gHSQC CIGAR NMR به همراه یک آزمایش HMBC (جدول ۱) نشات گرفته بود. همبستگی HMBC از H7 تا C11 تایید کرد که بخش متیل استر به سیستم حلقه آромاتیک جایگزین شده ۱، ۲ و ۳ متصل شده است. اتصال در مجاورت گروه اولفین سیس از همبستگی HMBC از H2 تا C1، C4، کتون C4a و فرمیل C10 و همچنین از H3 تا C1 و C4a حاصل شد. همبستگی‌های کلیدی

جذب UV در ۳۸۲ نانومتر نشان‌دهنده یک بخش ایندول کانجوگه بود (۳) در حالی‌که، جذب IR در 1665 cm^{-1} به همراه داده $\sigma 10.13(\text{s}); 192.7]$ NMR [۵۰.۱۳(s); ۱۹۲.۷] نشان‌دهنده حضور گروه فرمیل بودند. همچنین حضور یک گروه متیل استر [۵۴.۰۶(s); ۵۳.۴، ۱۶۸.۲] و یک گروه کتون [۵۱۸۶.۴] مشاهده گردید. دو جزء کلیدی ساختمان مولکولی با استفاده از داده‌های ^1H NMR و COSY NMR شناسایی شدند. اولی، یک حلقه آروماتیک که در موقعیت‌های ۱، ۲ و ۳ [۵۷.۸۴(dd), ۷.۲۸(dd), ۳.۹(dd)] جایگزین شده است و دومی، یک پیوند دوگانه سیس

UV و محاسبات جابجایی شیمیایی کربن، ساختمان مولکولی **B** به صورت یک سیستم کاربازول درنظر گرفته شد و اتم‌های باقی‌مانده (H_2O_2) به عنوان دو گروه –OH متصل به موقعیت‌های C1 و Na پیش‌بینی گردید که منجر به تشکیل مولکول کاپرووردین گردید (۵). کربن چهارتایی (۹۰.۵) با جایگزینی کربن C1 با یک گروه هیدروکسیل و یک گروه فرمیل همخوانی داشت (۶).

HMBC که اجازه بسته‌شدن اسکلت ساختمان مولکولی **B** را داد، از H5 تا C8a و از H7 تا C9a و از H10 تا C4a استفاده از همبستگی‌های HMBC ضعیف بودند و نیاز به دستیابی مجدد (reacquisition) با استفاده از بهبودهای متفاوت ثابت جفت‌شدن داشتند. اسکلت ساختمانی مولکولی **B** همه این موارد را در برداشت و همه اتم‌ها به غیر از H_2NO_2 را پاسخگو بود. بر اساس داده‌های

جدول ۱- داده‌های NMR مربوط به کاپرووردین. طیف‌ها در حلال CD_3OD انجام شد. ^{13}C NMR در فرکانس 130 MHz و ^{1}H NMR در فرکانس‌های 300 MHz و 75 MHz تنظیم شدند.

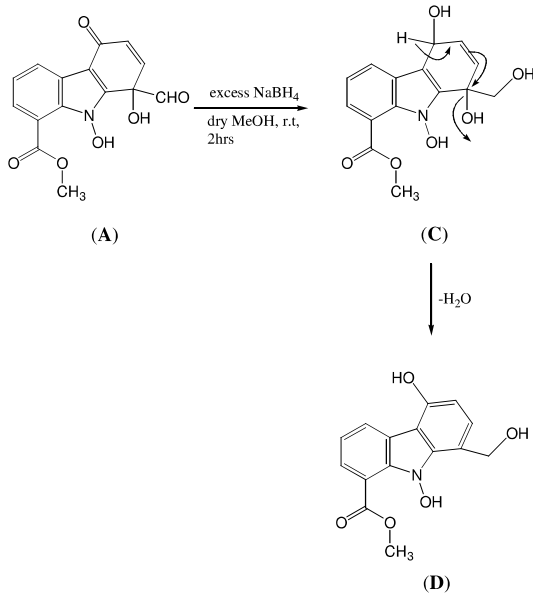
اتم مولکول	^{13}C NMR σ	^{1}H NMR σ	gCOSY	gHMBC
1	۹۰/۵			
2	۱۴۳/۶	۷/۰۱	H3	C1, C4, C9a, C10
3	۱۲۸/۵	۶/۲۵	H2	C1, C2, C4, C4a, C10
4	۱۸۶/۶			
4a	۱۰۵/۷			
4b	۱۲۷/۷			
5	۱۲۵/۱	۷/۳۹	H6	C4a, C4a, C6
6	۱۲۶/۴	۷/۲۸	H5, H7	C8a
7	۱۲۵/۹	۷/۸۴	H6	C4b, C5, C7, C8, C8b
8	۱۱۸/۳			
8a	۱۴۴/۹			
9				
9a	۱۵۷/۲			
10	۱۹۲/۷	۱۰/۱۳		C1, C4a, C9a
11	۱۶۸/۲			
12	۵۳/۴	۴/۰۶		C11
1-OH		۸/۵۰		
9-OH		۸/۵۰		

پیشنهاد شده بود، بر اساس همبستگی‌های ^{1}H NMR و نزدیکترین جابجایی شیمیایی ^{13}C NMR، بهترین تطابق را داشت. شیمی فضایی مطلق کاپرووردین تعیین نگردید. با توجه به مقدار بسیار محدود کاپرووردین جداسده (۵ میلی‌گرم)، فقط مقادیر بسیار کمی از این ماده جهت تایید ساختمان مولکولی این ترکیب با استفاده از واکنش‌های شیمیایی مورد استفاده قرار گرفت. واکنش‌های به کار گرفته

اگرچه اسکلت کاربازول در کاپرووردین به وسیله داده‌های UV و NMR تعریف شد؛ اما بررسی بیشتر به وسیله مطالعه کامپیووتری با استفاده از نرم‌افزار CONON انجام شد (۷). تعداد ۵۱۰ ساختمان مولکولی در ابتدا محاسبه شدند که به تعداد ۸ مولکول کاهش یافتند که همگی با داده‌های آزمایشگاهی مطابقت داشتند. از این تعداد ۸ ساختمان، آن ساختمان مولکولی که برای کاپرووردین

کاپرووردین با استفاده از مقدار اضافی NaBH_4 در متانول خشک بود. در اثر این واکنش، فقط یک محصول تشکیل گردید. بر اساس آنالیزهای ESIMS (MH^+ 288)، فرضیه تشکیل ترکیب **D** از محصول اولیه کاهش **C** در اثر از دست دادن یک مولکول آب، قوت گرفت (تصویر ۴).

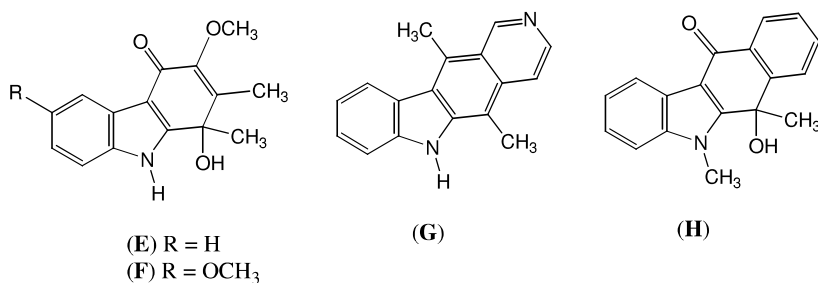
شده به منظور متیلاسیون و آسیلاسیون فقط مخلوطهای پیچیده حاصل از تخریب این ماده را ایجاد نمود. واکنش کاپرووردین با اسید منجر به ایجاد تغییرات جالب رنگی (از زرد به سبز) گردید، هرچند که خصلت این تبدیل درونی با استفاده از روش طیف جرمی مشخص نشد. روش دیگر جهت تایید ساختمان مولکولی پیشنهادی، کاهش مولکول



تصویر ۴- واکنش کاهش کاپرووردین با استفاده از NaBH_4 در حلal متانول و مکانیزم از دست دادن مولکول آب و آروماتیسیته شدن حلقه فنول.

ارزیابی بیولوژیک کاپرووردین در مقابل خواص ضد میکروبی بوده و سنتز کل آن در سال ۱۹۹۷ گزارش شد (۸,۹). سایتو توکسیستی ترکیب الیپتیسین (تصویر ۵G) نیز که یک آلkalوئید گیاهی است، به خوبی شناخته شده است (۱۰,۱۱). هم خانواده های کاربا از ترکیب **G** نیز سنتز شده اند که از این میان ترکیب (تصویر ۵H) یکی از هم خانواده های **G** بوده که شباهت ساختمانی زیادی با کاپرووردین دارد.

ارزیابی بیولوژیک کاپرووردین در مقابل تعدادی از رده های سلولی تومور انسانی و جانوری (موس) از قبیل P388، A549، MEL28 و DU145 پروفایل سایتو توکسیستی این ترکیب را به ترتیب با مقادیر IC_{50} برابر با $1/6 \mu\text{M}$, $1/6 \mu\text{M}$, $1/3 \mu\text{M}$ و $1/3 \mu\text{M}$ نشان داد. نزدیک ترین ترکیب های مرتبط ترکیب های کاربا زومایسین G (تصویر ۵E) و کاربا زومایسین H (تصویر ۵F) هستند که در سال ۱۹۸۸ از *Streptoverticillium*



تصویر ۵- کاربازومایسین G (E) و کاربازومایسین H (F)، الیپتیسین (G) و یکی از همانوادهای کاربا از ترکیب (G).

پروفایل DU145 و MEL28، HT29 سایوتوكسیستی این ترکیب را به ترتیب با مقادیر IC₅₀ برابر با μM ۱/۶، ۰/۳، ۰/۳ و ۰/۳ نشان داد.

تقدیر و تشکر
از دانشکده علوم، دانشگاه علوم دریایی امام خمینی(ره) قدردانی می‌گردد.

نتیجه گیری

در این تحقیق، نمونه‌ای از آب‌پاش دریایی متعلق به رده Acidiacea از پایه اسکله نیروی دریایی کنارک در پاییز ۱۳۹۲ جمع‌آوری و استخراج گردید. ترکیب کاپرووردین که یکی از ترکیبات استخراج شده از این نمونه بود، مورد توجه قرار گرفت و با استفاده از روش‌های متعارف NMR و طیفنگاری جرمی شناسایی شد. ارزیابی بیولوژیک کاپرووردین در مقابل تعدادی از رده‌های سلولی تومور انسانی و جانوری (موس) از قبیل A549، P388 و A549.

منابع مورد استفاده

میتریداتس، دوماهنامه طب جنوب، پژوهشکده زیست-پزشکی خلیج فارس، دانشگاه علوم پزشکی و خدمات بهداشتی درمانی بوشهر، سال هجدهم، شماره ۴، صفحات ۸۴۵ تا ۸۹۷.

3. Scott, A. I., 1964. Interpretation of the ultraviolet spectra of natural products; Pergamon Press: Oxford; Vol. 7, pp 297-298.
4. Fattorusso, E., Forenza, S., Minale, L., Sodano, G., 1971. Isolation of 3,4-dihydroxyquinoline-2-carboxylic acid from sponge *aplysina aerophoba*. Gazzetta Chimica Italiana 101: 104-105.
5. Kobayashi, A., Kajiyama, S., Inawaka, K., Kanzaki, H., Kawazu, K. Z., Nostodione,

1. جورج، سی. کنت-لری میلر، ۱۳۸۹، (متجم: محمد حسین صدرزاده طباطبایی)، کالبدشناسی مقایسه‌ای ۷۸۹، مهره‌داران، انتشارات دانشگاه تهران، صفحه.

2. محبی غ، ارشدی س، نبی‌پور خلیلی خ، ۱۳۹۴، توئیکات دریایی، معجون

- A., 1994. A novel mitotic spindle poison from a blue-green alga *Nostoc commune*. Zeitschrift für Naturforschung C – A. Journal of Biosciences 49: 464.
6. Hadden, C. E., Martin, G. E., Krishnamurthy, V. V., 2000. Constant time inverse-detection gradient accordion rescaled heteronuclear multiple bond correlation spectroscopy: CIGAR-HMBC. Magnetic Resonance Chemistry 38: 143-147.

7. 1H and 13C NMR estimation functions in Advanced Chemical Development Inc (ACD), 1994-2000.
8. Patil, A. D., Freyer, A. J., Killmer, L., Offen, P., Carte, B., Jurewicz, A. J., Johnson, R. K., 1997. Frondosins, five new sesquiterpene hydroquinone derivatives with novel skeletons from the sponge *Dysidea frondosa*: Inhibitors of interleukin-8 receptors. *Tetrahedron* 53: 5047-5060.
9. Junker, J., Maier, W., Lindel, T., Koeck, M., 1999. Computer-assisted constitutional assignment of large molecules: COCON analysis of ascomycin. *Organic Letters* 1: 737-740.
10. Koeck, M., Junker, J., Maier, W., Will, M., Lindel, T., 1999. A COCON analysis of proton-poor heterocycles – application of carbon chemical shift predictions for the evaluation of structural proposals. *European Journal of Organic Chemistry* 3: 579-586.
11. Lindel, T., Junker, J., Koeck, M., 1999. 2D-NMR-Guided constitutional analysis of organic compounds employing the computer program COCON. *European Journal of Organic Chemistry* 3: 573-577.
12. Lindel, T., Junker, J., Koeck, M., 1997. COCON: From NMR correlation data to molecular constitutions. *Journal of Molecular Modelling*, 3: 364-368.
13. Kaneda, M., Naid, T., Kitahara, T., Nakamura, S., Hirata, T., Suga, T., 1988. Carbazomycins G and H, novel carbazomycin-congeners containing a quinol moiety. *Journal of Antibiotics* 41(5): 603-608.
14. Knölker, H. J., Fröhner, W., 1997. First total synthesis of carbazomycin G and H. *Tetrahedron Letters* 38: 4051-4054.
15. Dalton, L. K., Demerac, S., Elmes, B. C., Loder, J. W., Swan, J. M., Teitei, T., 1967. Synthesis of the tumour-inhibitory alkaloids, ellipticine, 9-methoxyellipticine, and related pyrido[4,3-b] carbazoles. *Australian Journal of Chemistry* 20(12): 2715-2727.
16. Svoboda, G. H., Poore, G. A., Montfort, J., 1968. Alkaloids of *Ochrosia maculata* Jacq. (*Ochrosia borbonica* Gmel.). Isolation of the alkaloids and study of the antitumor properties of 9-methoxyellipticine. *Journal of Pharmaceutical Sciences* 57(10): 1720-1725.